

# Некоторые особенности распространения света в трехканальном нелинейном направленном ответвителе

П.И.Хаджи, К.Д.Ляхомская, Л.Ю.Надькин

*Получены точные аналитические решения системы нелинейных дифференциальных уравнений для интенсивностей волн, распространяющихся в трехканальном нелинейном направленном ответвителе с керровской нелинейностью и различными константами связи между световодами.*

**Ключевые слова:** трехканальный нелинейный направленный ответвитель, константа связи, длина связи, самозахват.

## 1. Введение

Особое место среди искусственных полупроводниковых структур с заданными функциональными характеристиками, предназначенных для хранения, передачи и обработки оптической информации, занимают различные пространственно-периодические структуры, в частности нелинейные направленные ответвители (ННО). Принципиальным условием их функционирования является возможность управления процессом распространения излучения. В настоящее время разработана удовлетворительная теория распространения лазерного излучения в ННО для сред с керровской нелинейностью в показателе преломления. Для этого случая получены точные аналитические решения системы нелинейных уравнений для интенсивностей распространяющихся волн [1–4]. В [2] предсказано явление самопереключения волн в ННО, которое состоит в том, что слабые изменения входной интенсивности одной из волн вызывают резкие изменения интенсивности обеих волн на выходе ННО. Однако аналитические решения получены только для ННО, состоящего из двух световодов с керровскими нелинейностями. Что касается ННО, состоящих из трех и более световодов, то особенности распространения света в них изучались только численными методами с использованием системы нелинейных уравнений для связанных волн [2–11]. Поэтому большой интерес представляют возможность получения аналитических решений уравнений для многоканальных ННО и исследование особенностей их функционирования. В настоящей работе получены точные аналитические решения системы нелинейных уравнений для интенсивностей распространяющихся волн в симметричном трехканальном ННО с керровской нелинейностью постоянной распространения и различными константами связи между световодами. При этом используется подход, предложенный в [12, 13].

П.И.Хаджи, К.Д.Ляхомская, Л.Ю.Надькин. Приднестровский государственный университет им. Т.Г.Шевченко, Молдова, MD-3300 Тирасполь, ул. 25 Октября, 128; e-mail: ksedanna@yandex.ru, nadkin@gmail.com

Поступила в редакцию 1 декабря 2016 г., после доработки – 30 января 2017 г.

## 2. Постановка задачи. Основные уравнения

Рассмотрим симметричный ННО, который состоит из трех идентичных параллельных световодов, расположенных в углах равнобедренного треугольника (рис.1). Константы связи между световодами с номерами  $n = 1, 2$  и номерами  $n = 1, 3$  равны  $\gamma$ , а между световодами с номерами  $n = 2, 3$  –  $\gamma_1$ . Таким образом, данная конфигурация в двух предельных случаях  $\gamma_1 = 0$  и  $\gamma_1 = \gamma$  сводится к ранее рассмотренным системам [5–8].

Считаем, что световоды характеризуются керровской нелинейностью постоянной распространения:  $\beta = \beta_0 + \alpha I$ , где  $\beta_0$  – линейная часть постоянной распространения;  $\alpha$  – керровская поправка;  $I$  – интенсивность распространяющейся волны. Нелинейные дифференциальные уравнения для амплитуд полей  $E_1, E_2$  и  $E_3$  связанных волн в каждом из световодов, распространяющихся вдоль оси  $x$  ННО, в этом случае имеют следующий вид [2–11]:

$$\begin{aligned} \frac{dE_1}{dx} &= -i(\beta_0 + \alpha I_1)E_1 + i\gamma(E_2 + E_3), \\ \frac{dE_2}{dx} &= -i(\beta_0 + \alpha I_2)E_2 + i\gamma E_1 + i\gamma_1 E_3, \\ \frac{dE_3}{dx} &= -i(\beta_0 + \alpha I_3)E_3 + i\gamma E_1 + i\gamma_1 E_2. \end{aligned} \quad (1)$$

Здесь  $I_n = (c/8\pi)|E_n|^2$ ,  $n = 1, 2, 3$ .

Рассмотрим случай, когда накачивается первый световод ( $n = 1$ ) (рис.1). Систему (1) дополним граничными условиями:

$$E_{1|x=0} = E_0, \quad E_{2|x=0} = E_{3|x=0} = 0. \quad (2)$$

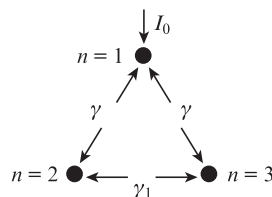


Рис.1. Схема ННО в сечении, перпендикулярном оси световодов.

Система уравнений (1) описывает стационарное распространение излучения в световодах. При этом множители  $\beta_0 + \alpha I_j$  ( $j = 1, 2, 3$ ) описывают изменение эффективной постоянной распространения каждого световода в зависимости от интенсивности распространяющегося в нем излучения (эффект Керра). Что касается констант связи между световодами, то в (1) они считаются постоянными, не зависящими от интенсивности. Уравнения (1) справедливы при условии, что отсутствует генерация новых мод в процессе нелинейного распространения излучения в световодах. Они применяются при слабых нелинейных возмущениях и для существенно разделенных друг от друга световодов [1–8].

Рассмотрим решение в виде  $E_n(x) = f_n(x) \exp(-i\beta_0 x)$ . Для функций  $f_n(x)$  в этом случае получаем

$$\begin{aligned} \frac{df_1}{dx} &= -i\alpha I_1 f_1 + i\gamma(f_2 + f_3), \\ \frac{df_2}{dx} &= -i\alpha I_2 f_2 + i\gamma f_1 + i\gamma_1 f_3, \\ \frac{df_3}{dx} &= -i\alpha I_3 f_3 + i\gamma f_1 + i\gamma_1 f_2. \end{aligned} \tag{3}$$

Граничные условия для функций  $f_n(x)$  аналогичны (2):  $f_1|_{x=0} = f_0, f_2|_{x=0} = f_3|_{x=0} = 0$ . Покажем, что в этих условиях амплитуды полей (интенсивности) в световодах  $n = 2$  и  $3$  будут одинаковыми в любой точке  $x$ . Для этого введем функцию  $p = f_2 - f_3$  с граничным условием  $p|_{x=0} = 0$ . Тогда из (3) получаем следующее дифференциальное уравнение для функции  $p(x)$ :

$$\frac{dp}{dx} = -i\alpha \frac{c}{8\pi} [|p|^2 p + p^2 f_3^* + 2|p|^2 f_3 + 2p|f_3|^2 + f_3^2 p^*] - i\gamma_1 p. \tag{4}$$

Пусть  $p = Q \exp(i\varphi), f_3 = F \exp(i\psi)$ , где  $Q$  и  $F$  – амплитуды, а  $\varphi$  и  $\psi$  – фазы функций  $p$  и  $f_3$ . Подставляя эти выражения в (4) и выделяя действительную и мнимую части уравнения (4), получаем

$$\frac{dQ}{dx} = -\alpha Q [QF \sin(\varphi - \psi) + F^2 \sin(2\varphi - 2\psi)]. \tag{5}$$

Так как все функции зависят от  $x$ , то множитель в квадратных скобках в правой части (4) будем считать некоторой функцией, зависящей от  $x$ :

$$f(x) = QF \sin(\varphi - \psi) + F^2 \sin(2\varphi - 2\psi).$$

Тогда уравнение (5) можно записать в форме

$$\frac{dQ}{dx} = -\alpha Q f(x).$$

Его решение имеет вид

$$Q = A \exp\left(-\int_0^x f(\xi) d\xi\right),$$

где  $A$  – константа интегрирования. Удовлетворяя граничному условию  $Q|_{x=0} = 0$ , получаем  $A = 0$ . Таким образом, в любой точке ННО выполняется соотношение

$$Q(x) = |f_2(x) - f_3(x)| = 0, \tag{6}$$

то есть абсолютное значение разности комплексных амплитуд полей  $f_2$  и  $f_3$  равно нулю. Представляя их в виде  $f_2 = F_2 \exp(i\varphi_2), f_3 = F_3 \exp(i\varphi_3)$  и подставляя в (6), приходим к выражению

$$F_2^2 + F_3^2 - 2F_2 F_3 \cos(\varphi_2 - \varphi_3) = 0.$$

В соответствии с теоремой косинусов это соотношение выполняется при  $F_2 = F_3$  и  $\varphi_2 = \varphi_3 + 2\pi m, m = 0, 1, 2, \dots$ . Отсюда окончательно следует, что  $f_2 = f_3$  в любой точке  $x$  ННО. Это обстоятельство позволяет существенно упростить систему (3) и привести ее к следующему виду:

$$\begin{aligned} \frac{df_1}{dx} &= -i\alpha I_1 f_1 + 2i\gamma f_2, \\ \frac{df_2}{dx} &= -i\alpha I_2 f_2 + i\gamma f_1 + i\gamma_1 f_2. \end{aligned} \tag{7}$$

Из (7) видно, что ННО с тремя идентичными световодами, расположенными в вершинах равнобедренного треугольника, при накачке в находящийся на вершине этого треугольника световод эквивалентен ННО с двумя различными световодами, у которых разные постоянные распространения, а константа связи первого световода со вторым в два раза больше константы связи второго световода с первым.

Введем в рассмотрение функции [12]:

$$\begin{aligned} I_{1,2} &= \frac{c}{8\pi} |f_{1,2}|^2, \quad Q = \frac{ic}{8\pi} (f_2^* f_1 - f_1^* f_2), \\ R &= \frac{c}{8\pi} (f_2^* f_1 + f_1^* f_2). \end{aligned} \tag{8}$$

Используя (7) и систему сопряженных уравнений, для новых функций получаем следующую систему связанных нелинейных дифференциальных уравнений:

$$\frac{dI_1}{dx} = -2\gamma Q, \quad \frac{dI_2}{dx} = \gamma Q, \tag{9}$$

$$\frac{dQ}{dx} = [\alpha(I_1 - I_2) + \gamma_1] R + 2\gamma(I_1 - 2I_2), \tag{10}$$

$$\frac{dR}{dx} = -[\alpha(I_1 - I_2) + \gamma_1] Q. \tag{11}$$

В соответствии с (2) граничные условия для системы (9)–(11) имеют вид

$$I_1|_{x=0} = I_0, \quad I_2|_{x=0} = 0, \quad Q|_{x=0} = R|_{x=0} = 0. \tag{12}$$

Из (9) легко получить первый интеграл движения

$$I_1 + 2I_2 = I_0, \tag{13}$$

который представляет собой закон сохранения энергии в системе. Из (11) с учетом (9) и (13) получаем второй интеграл движения

$$R = \frac{\alpha}{2\gamma} I_2 (3I_2 - 2I_0) - \frac{\gamma_1}{\gamma} I_2. \tag{14}$$

Наконец, из (10) получаем третий интеграл движения

$$Q^2 = I_2 \left[ 4I_0 - \left( 8 + \frac{\gamma_1^2}{\gamma^2} \right) I_2 - 2 \frac{\gamma_1}{\gamma} \frac{\alpha}{\gamma} I_2 \left( I_0 - \frac{3}{2} I_2 \right) - \frac{\alpha^2}{\gamma^2} \left( I_0 - \frac{3}{2} I_2 \right)^2 \right]. \quad (15)$$

Легко показать также, что существует еще один интеграл движения, связывающий все функции,

$$Q^2 + R^2 = 4I_1 I_2, \quad (16)$$

который, в сущности, является следствием выражений (13)–(15). Подставляя (15) в (9), легко получить нелинейное дифференциальное уравнение, описывающее пространственное изменение интенсивности света  $I_2$  во втором световоде ННО:

$$\frac{dI_2}{dx} = \gamma \left\{ I_2 \left[ 4I_0 - \left( 8 + \frac{\gamma_1^2}{\gamma^2} \right) I_2 - 2 \frac{\gamma_1}{\gamma} \frac{\alpha}{\gamma} I_2 \left( I_0 - \frac{3}{2} I_2 \right) \right]^{1/2} \right\}. \quad (17)$$

Введем нормированные величины

$$y = \frac{I_2}{I_0}, \quad y_1 = \frac{I_1}{I_0}, \quad z = 2\gamma x, \quad a = \frac{\alpha I_0}{2\gamma}, \quad s = \frac{\gamma_1}{\gamma}. \quad (18)$$

Тогда решение уравнения (17) в квадратурах для функции  $y(z)$  можно представить в виде

$$\int_0^y dy \left( y \left\{ 1 - 2y - y \left[ \frac{s}{2} + a \left( 1 - \frac{3}{2} y \right) \right]^2 \right\} \right)^{-1/2} = z. \quad (19)$$

Из (19) видно, что поведение решений определяется двумя параметрами – параметром нелинейности  $a$  и параметром различия констант связи  $s$ . Кроме того, из (19) следует, что интенсивность распространяющегося во втором световоде света  $y$  периодически изменяется от нуля до максимальной величины  $y_{\max}$ , которая определяется из уравнения

$$1 - 2y_{\max} - y_{\max} \left[ \frac{s}{2} + a \left( 1 - \frac{3}{2} y_{\max} \right) \right]^2 = 0, \quad (20)$$

причем в качестве решения данного уравнения выбирается положительный корень, ближайший к нулю. С ростом уровня возбуждения новые корни уравнения (20) не возникают. Появление пары действительных корней уравнения (20) свидетельствует о наступлении эффекта самозахвата, поэтому можно сделать вывод, что в данной системе при накачке в один из световодов явление самозахвата отсутствует. Последнее имеет место в случае ННО из двух световодов.

Отметим здесь, что явление самозахвата излучения предсказывалось для атомных систем [14–16], для атомно-молекулярных систем [17], для систем экситон-поляритонов в микрорезонаторах [18, 19] и экспериментально наблюдалось в [20, 21]. Оно состоит в резком (практически скачкообразном) изменении амплитуды колебаний при изменении параметров системы либо уровня возбуждения.

В линейном пределе ( $a = 0$ ) интенсивность света в световодах ответвителя определяется следующими выражениями:

$$y = \frac{I_2}{I_0} = \frac{4}{\kappa^2} \sin^2 \frac{\kappa}{2} z, \quad y_1 = \frac{I_1}{I_0} = 1 - \frac{8}{\kappa^2} \sin^2 \frac{\kappa}{2} z, \quad (21)$$

где  $\kappa = \sqrt{8 + s^2}$ . Таким образом, интенсивность света периодически перекачивается из первого световода во второй и третий, причем  $y_{\max} = 4/\kappa^2$ ,  $y_{1\min} = 1 - 8/\kappa^2$ , а длина связи  $L_0 = \pi/(2\gamma\kappa)$ . Отсюда видно, что длина связи в трехканальном линейном ответвителе меньше длины связи ответвителя из двух таких же световодов.

Решение уравнения (20) показывает, что максимальная интенсивность света  $y_{\max}$  во втором (третьем) световоде монотонно убывает от значения  $y_{\max} = 4/\kappa^2$  до нуля с ростом параметра нелинейности  $a$  (с ростом уровня возбуждения с торца первого световода). Два других корня уравнения (20) являются комплексно сопряженными при любых соотношениях между параметрами  $s$  и  $a$ . Полагая  $y_{\max}$  известным, эти корни можно представить в виде  $y_{2,3} = \mu \pm iv$ , где

$$\mu = \frac{a_1 - y_{\max}}{2}; \quad v = \frac{1}{2} \sqrt{4a_2 + (y_{\max} - a_1)(3y_{\max} + a_1)}; \quad (22)$$

$$a_1 = \frac{4}{3} \left( 1 + \frac{s}{2a} \right); \quad a_2 = \frac{4}{9} \left[ \left( 1 + \frac{s}{2a} \right)^2 + \frac{2}{a^2} \right].$$

Тогда выражение (15) легко проинтегрировать, и мы получаем

$$y = y_{\max} \sqrt{\mu^2 + v^2} \frac{1 - \operatorname{cn}(3maz/2)}{(n_1 - n_2) \operatorname{cn}(3maz/2) + n_1 + n_2}, \quad (23)$$

где  $\operatorname{cn}(x)$  – эллиптический косинус [22, 23] с модулем  $k$ , равным

$$k^2 = \frac{1}{2} \left( 1 - \frac{\mu(\mu - y_{\max}) + v^2}{\sqrt{[\mu(\mu - y_{\max}) + v^2]^2 + v^2 y_{\max}^2}} \right); \quad (24)$$

$$m = \{ [\mu(\mu - y_{\max}) + v^2]^2 + v^2 y_{\max}^2 \}^{1/2}; \quad (25)$$

$$n_1 = \sqrt{(\mu - y_{\max})^2 + v^2}; \quad n_2 = \sqrt{\mu^2 + v^2}.$$

Из (23) следует, что интенсивность излучения во втором световоде  $y(z)$  периодически изменяется от нуля до  $y_{\max}$ . При этом длина связи  $L_z = 2\gamma L$  выражается формулой

$$L_z = \frac{4}{3ma} K(k), \quad (26)$$

где  $K(k)$  – полный эллиптический интеграл первого рода с модулем  $k$  [22, 23].

### 3. Обсуждение результатов

На рис.2 представлена зависимость максимальной интенсивности  $y_{\max}$ , перекачиваемой из первого (накачиваемого) световода ННО во второй, от параметра нелинейности  $a$  для ряда значений параметра различия констант связи  $s$ . Видно, что с ростом  $a$  величина  $y_{\max}$  быстро убывает, стремясь к нулю при  $a \gg 1$ .

Рост параметра различия констант связи  $s$  определяет значения  $y_{\max}$  при  $a = 0$ , но не влияет на общий характер

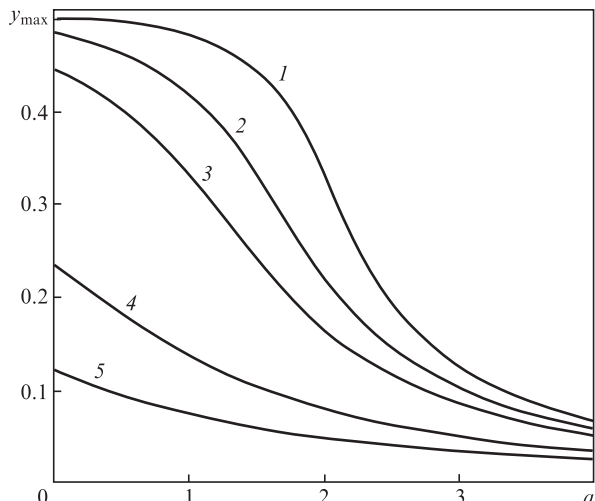


Рис.2. Зависимость максимальной интенсивности  $y_{max}$ , перекачиваемой из первого (накачиваемого) световода ННО во второй, от параметра нелинейности  $a$  для параметров различия констант связи  $s = 0$  (1), 0.5 (2), 1 (3), 3 (4) и 5 (5).

поведения. Из рис.2 видно, что в трехканальной системе световодов отсутствует явление самозахвата.

На рис.3 представлена пространственная зависимость интенсивности  $y(z)$ , перекачиваемой из первого (накачиваемого) световода ННО во второй световод, от параметра  $a$  для нескольких значений параметра  $s$ . Видно, что имеет место периодический режим перекачки энергии распространяющегося излучения из первого световода в два других и обратно. При фиксированном параметре

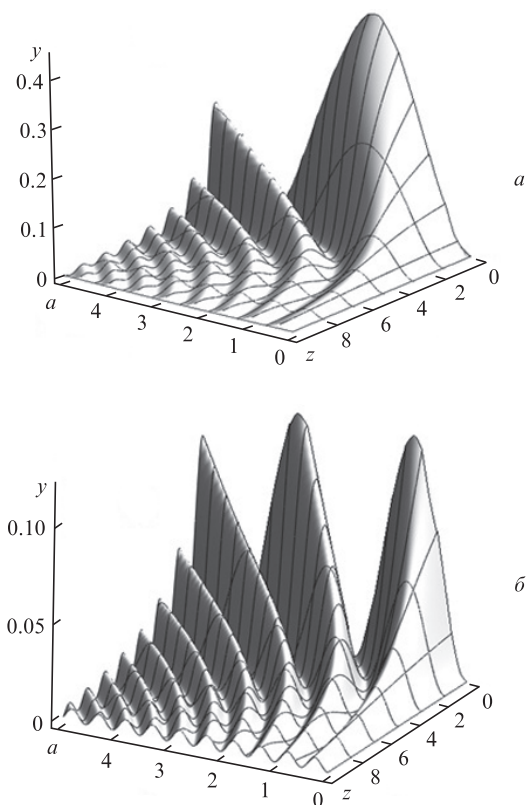


Рис.3. Пространственная зависимость интенсивности  $y(z)$ , перекачиваемой из первого световода во второй, от параметра нелинейности  $a$  для параметров различия констант связи  $s = 1$  (а) и 5 (б).

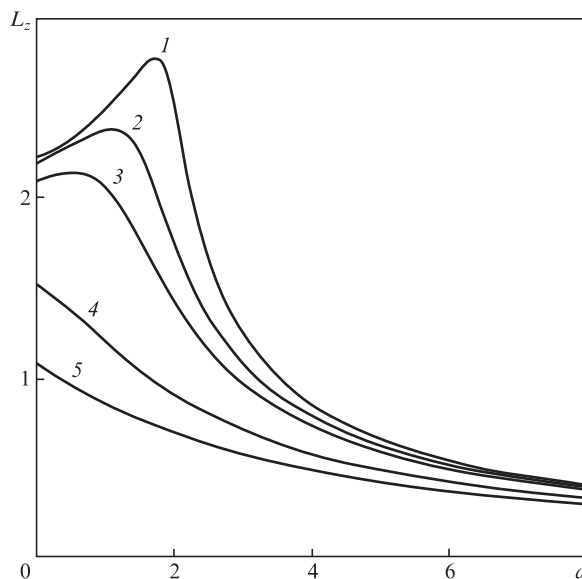


Рис.4. Зависимость длины связи  $L_z$  от параметра нелинейности  $a$  для параметров различия констант связи  $s = 0$  (1), 0.5 (2), 1 (3), 3 (4) и 5 (5).

тре нелинейности  $a$  амплитуды колебаний функции  $y(z)$  с ростом  $z$  монотонно убывают. Однако с ростом параметра нелинейности  $a$  амплитуды колебаний функции  $y(z)$  увеличиваются. Положение максимумов обусловлено длиной связи  $L_z$ , которая, как видно из рис.2 и 4, зависит от уровня возбуждения.

На рис.4 представлена зависимость длины связи  $L_z$  от параметра нелинейности  $a$  для нескольких значений параметра различия констант связи  $s$ . С ростом  $a$  функция  $L_z(a)$  растет за счет роста модуля  $k$  полного эллиптического интеграла первого рода  $K(k)$ , тогда как при  $a \gg 1$  длина связи  $L_z$ , как следует из выражения (26), убывает обратно пропорционально  $a$ . Из рис.4 также следует, что явление самозахвата в трехканальном ННО при больших уровнях возбуждения отсутствует.

Итак, отметим основные результаты. Получены точные аналитические решения системы нелинейных уравнений для интенсивностей распространяющихся волн в симметричном трехканальном ННО с керровской нелинейностью постоянной распространения и различными константами связи между световодами. Показано, что имеет место периодическая перекачка излучения из накачиваемого световода в два других и обратно; максимальная интенсивность излучения, перекачиваемая в соседние световоды, и длина связи быстро убывают с ростом уровня возбуждения; при больших уровнях возбуждения отсутствует явление самозахвата, характерное для двухканальных ННО.

1. Jensen S.M. *IEEE J. Quantum Electron.*, **QE-18**, 1580 (1982).
2. Майер А.А. *УФН*, **165**, 1037 (1995).
3. Chen Y. *IEEE J. Quantum Electron.*, **QE-25**, 2149 (1989).
4. Chen Y., Snyder A.W., Payne D.N. *IEEE J. Quantum Electron.*, **QE-28**, 239 (1992).
5. Майер А.А. *Квантовая электроника*, **18**, 1264 (1991).
6. Snyder A.W., Chen Y. *Opt. Lett.*, **14**, 517 (1989).
7. Schmidt-Hattenberger S., Trutschel U., Lederer F. *Opt. Lett.*, **16**, 294 (1991).
8. Soto-Crespo J.M., Wright E.M. *J. Appl. Phys.*, **70**, 7240 (1991).
9. Christodoulides D.N., Joseph R.I. *Opt. Lett.*, **13**, 794 (1988).

10. Eisenberg H.S., Silberberg Y., Morandotti R., et al. *Phys. Rev. Lett.*, **81**, 3383 (1998).
11. Peschel U., Pertsch T., Lederer F. *Opt. Lett.*, **23**, 1701 (1998).
12. Хаджи П.И., Орлов О.К. *ЖТФ*, **69**, 69 (1999); *Письма в ЖТФ*, **25**, 7 (1999).
13. Хаджи П.И., Орлов О.К. *Квантовая электроника*, **30**, 349 (2000).
14. Trombettoni A., Smezzzi A. *Phys. Rev. Lett.*, **86**, 2353 (2001).
15. Raghavan S., Smerzi A., Fantoni S., Shenoy S.R. *Phys. Rev. A*, **59**, 620 (1999).
16. Vuonsante P., Penna V., Vezzani A. *Phys. Rev. A*, **82**, 043615 (2010).
17. Зинган А.П., Хаджи П.И. *Оптика и спектроскопия*, **113**, 659 (2012).
18. Khadzhi P.I., Vasilieva O.F. *J. Nanoelectron. Optoelectron.*, **6**, 1 (2011).
19. Васильева О.Ф., Хаджи П.И. *Оптика и спектроскопия*, **115**, 922 (2013).
20. Anker T., Albiez M., Gati R., Hunsmann S., Eiermann B., Trombettoni A., Oberthaler M.K. *Phys. Rev. Lett.*, **94**, 020403 (2005).
21. Bennet F.H., Alexander T.J., Haslinger F., Mitchell A., Neshev D.N., Kivshar Y.S. *Phys. Rev. Lett.*, **106**, 093901 (2011).
22. Градштейн И.С., Рыжик И.М. *Таблицы интегралов, сумм, рядов и произведений* (М.: ГИФМЛ, 1965).
23. Журавский А.М. *Справочник по эллиптическим функциям* (М., Л.: Изд. АН СССР, 1941).